

北海道大学工学部 正員 北郷 繁

○益田栄治

学生員 平岡邦興

まえがき 現行の液性限界測定法にみられる多くの不備を改良し解消させる方法として、コーン貫入試験による $\angle\angle$ 測定につき検討した。さらに種々の落下速度と $\angle\angle$ コーンの貫入量との関係、同じ試料のベーンセン断面強さ C との比較から、落下速度の貫入特性に与える影響、 $\angle\angle$ 時の C との関係、および $\angle\angle$ 付近の飽和粘土の強度特性について調べた。使用した試料土は10種である。

1. 試験方法

i) コーン貫入試験 装置は1を参照。使用したコーンは100g、先端角90°で、落下速度は、落下速度も制御しより自由落下によるものも加え、コーンを吊る糸をくりだすモーターの速さを変え、毎分159, 109, 45, 1.2 mmの5種とした。以後、自由落下を15, 10, 5, 2, 1とする。

ii) ベーン試験 使用した装置は2とズミ制御型で、ヒズミ速度は6%/分とした。ベーンによる粘着力 C は、P.CARLSONの算式、 $M_{max} = \pi C D^3 (\frac{m}{D} + \frac{1}{2})$ を用いた。 D はベーンの直径、 m はベーンの高さと直径の比であるとした。

2. 測定結果

i) 貫入量 α と $\angle\angle$ 図-1は測定結果の一例で、 $w-log\alpha$ の関係は従来の測定法の $w-log N$ (N : ララの落下回数)に対応するものである。この $w-log\alpha$ の関係から従来の測定法による $\angle\angle$ に相当する貫入量の平均値を α として、これを土の種類に無関係に速度別にまとめる。

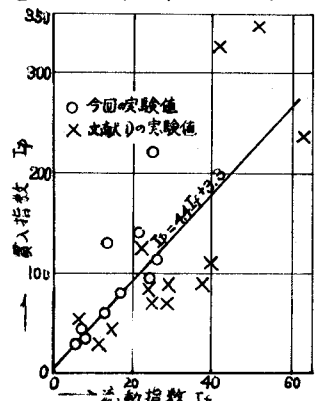


表-2 流動指數と貫入指數の関係

	石から求めた $\angle\angle$	現行法
α	21 22 26 26 26 26	L.L.
1	37 39 38 38 38 35	
2	45 46 47 47 47 46	
3	56 55 54 56 55 50	
4	62 63 63 62 64 60	
5	74 69 72 72 72 73	
6	78 77 75 75 76 84	
7	90 93 94 93 94 93	
8	104 100 99 99 101 104	
9	108 105 103 103 98 113	
10	114 114 110 109 102 118	
$\bar{\alpha}_{LL}$	± 2.8 ± 3.9 ± 4.5 ± 4.6 ± 5.7 —	

表-2 コーン貫入による $\angle\angle$ (石を基準)

めると、落下速度の速いほど石の大きくなる事がわかる(表-1)。これとは逆に、 $w-log\alpha$ 曲線で α を求める含水比と図上で計算してみると、表-2のようである。 $\angle\angle$ は従来の $\angle\angle$ との差の絶対値の平均値であって、約6%のくずれがある。落下速度の速いのは従来の $\angle\angle$ に近い値を示すことがわかる。

ii) 流動指數 I_f と貫入指數 α

$w-log N$ 曲線の勾配を I_f 、 $w-$

$\log C$ 曲線の勾配を取ると、両者は図-2 のよう
な相関を示し、 I_p は I_f のほぼ 5 倍の値を示す。また
図-3 は I_f の貫入速度との比を I_p を標準にして、他
の貫入速度の I_f との比を因示したものであるが、 I_f
は落下速度の影響をほとんど受けないと考えられる。
つまり I_f は I_p と同様、土の固有の性質を表す要素で
あるといふことができる。

iii) $\angle\angle$ 時の粘着力 C 図-4 はペーン試験による $w - \log C$ 曲線で、 $w - \log C$ が $\angle\angle$ 付近で直線関係にあるのが
認められる。これより求めた、 $\angle\angle$ に対する粘着力を表
-3 に示す。 $\angle\angle$ 時のせん断強さは土層に關係なく一定で
あると、う推察からそれを次の方法による C の分離を調
べてみると、表-3 に示すように、従来の測定法が最も大
きく、この測定法による $\angle\angle$ 値は強度のパラメータとして
適当でないといえる。コーン貫入法による場合は、静的
な履合の大きさ、落下速度の遅いものはほど分離が少いこと
がわかる。しかし、前記の推察の妥当性はまだ不明である。

ii) 強度指數 I_p $w - \log C$ 曲線の勾配を I_p とすると、
貫入指數 I_f との間に、図-5 から $I_p = 3I_f$ なる関係が得
られる。従って、 $w - \log C$ 関係の直線性から、飽和・正規
圧密粘土の強度は

$$\log C = (w - \theta_s)/I_p = 1.5(w - \theta_s)/I_f$$

となるが、1.5 という値は、さらに多くのデーターにより決
定されるべきである。

3. まとめ

1) コーン貫入法は試験方法の簡便さ、個人誤差の除去
などからみて、 $\angle\angle$ 測定法として従来の方法よりすぐれて
いる。実用的には自由落下貫入法が最適である。2) $90^\circ -$
 $100g$ のコーンを使用した自由落下貫入では、 δ_{mm} 前後の貫
入許容水比が従来の $\angle\angle$ に対応する。3) いま $\angle\angle$ の場
合でも $\angle\angle$ 時の粘着力は 26 g/cm^2 程度である。4) 従来の
方法による $\angle\angle$ 時の粘着力はバラツキが多く、強度の面か
らこれを定義するには無理がある。5) $w - \log C$ の関係は $\angle\angle$ 付近で直線的である。6) I_f は貫入速
度の影響をほとんど受けず、その土固有の性質を表現すると推論される。7) 強度指數 I_p と貫入指數
 I_f の間に $I_p = 3I_f$ なる関係が得られた。

参考文献 1) 北郷繁：液性限界測定法に関する実験、土と基礎 1963, vol. 13, no. 9

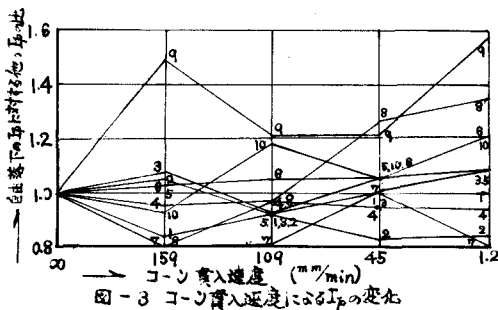


図-3 コーン貫入速度による I_p の変化

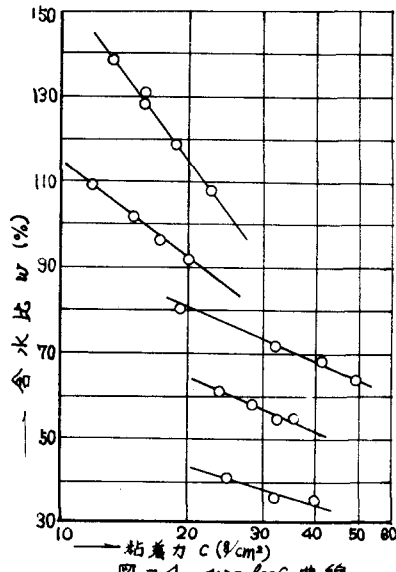


図-4 $w - \log C$ 曲線

	ジ	乙	丙	乙	丙	現行 LL
$\log C (\text{kg/cm}^2)$	25.4	26.2	26.3	26.4	26.6	26.8
δC	± 5.9	± 5.1	± 4.3	± 3.4	± 3.5	± 8.3
$100\% \theta_s$	23	20	16	13	13	31

表-3 $\angle\angle$ における上の粘着力 (kg/cm^2)

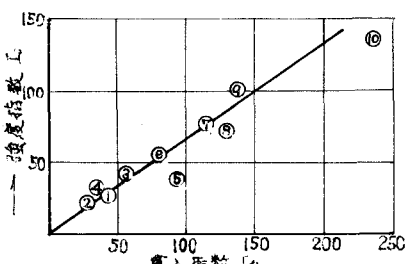


図-5 貫入指數と強度指數の関係